

## اصلاح مدل اجزاء محدود به روش تابع پاسخ (RFM)

- محمد رضا آشوری<sup>۱</sup>
- حمید دائیان<sup>۲</sup>
- احسان جمشیدی<sup>۳</sup>

### فهرست نمادها و نشانه‌ها

$[ ]^{-1}$ : معکوس ماتریس	Receptance : ماتریس $[a]$
$[ ]^T$ : ماتریس ترانپوز	$[\omega]^T$ : ماتریس مقادیر ویژه
$[ ]_a$ : ماتریس بدست آمده از تحلیل	$[\varphi]_a$ : شکل مد بدست آمده از تحلیل
$[ ]_x$ : ماتریس بدست آمده از آزمایش	$[\varphi]_x$ : شکل مد بدست آمده از تست مودال
[K] : ماتریس سختی	{ } : بردار
[M] : ماتریس جرم	
DOF : Degree of Freedom	MAC : Modal Assurance Criterion
FEM : Finite Element Method	COMAC : Coordinate Modal assurance Criterion
EMM : Error Matrix Method	RFM : Response Function Method
FRF: Frequency Response Function	SVD : Singular value Decomposition

### چکیده

امروزه به دلیل پیچیده شدن طراحی‌ها، بررسی رفتار سازه‌های دینامیکی به کمک اجزاء محدود، بسیار مورد توجه قرار گرفته است و با ظهور کامپیوترهای قدرتمند، استفاده از این روش‌ها توسط طراحان با شتاب بیشتری صورت می‌گیرد. روش دیگر دستیابی به یک مدل دینامیکی برای سازه‌های مکانیکی، ساختن مدل آزمایشگاهی برای سازه با انجام تست‌های ارتعاشی و تحلیل داده‌های اندازه‌گیری شده است. به این فرایند در اصطلاح تست مودال (Modal Testing) می‌گویند که در طی سه دهه گذشته در تئوری و عمل توسعه بسیاری یافته است. یکی از مهم‌ترین کاربردهای تست مودال، بهبود مدل‌های عددی سیستم‌های دینامیکی با مقایسه پارامترهای مودال حاصل از نتایج تست مودال و مدل‌های عددی می‌باشد. پس از بهبود مدل عددی، می‌توان با اطمینان از آن در تحلیل‌های بعدی مانند پیش‌بینی پاسخ به یک نیروی وارده بر سازه، کوپلینگ سازه‌ها، تحلیل تنش و غیره استفاده کرد. در این مقاله مزایا، معایب و محدودیت‌های یکی از روش‌های امروزی بهبود مدل دینامیکی سازه‌ها به نام روش تابع پاسخ (Response Function Method) مورد بررسی قرار گرفته است. همچنین برای درک بهتر روش یک مدل ۵ درجه آزادی جرم و فنر توسط نرم افزار MATLAB مدل گردیده است.

**واژه‌های کلیدی:** بهبود مدل اجزاء محدود، آنالیز مودال، ماتریس جرم، ماتریس سختی، ماتریس خطا، SVD و Receptance.

۱- استادیار گروه مکانیک دانشگاه سمنان و عضو هیات علمی دانشگاه آزاد اسلامی واحد سمنان

۲- دانشجوی دکتری مکانیک دانشگاه اسلو، نروژ

۳- دانشجوی دکتری مکانیک-طراحی کاربردی دانشگاه سمنان و عضو هیات علمی دانشگاه آزاد اسلامی واحد سمنان

## ۱- مقدمه

تحلیل دینامیکی سازه‌ها دارای اهمیت بسزائی است و امروزه در طراحی و ساخت کلیه سازه‌های مهندسی تحلیل دینامیکی نقش مهم و کاربردی دارد. اما به جهت در دسترس نبودن جواب تحلیلی برای سازه‌های پیچیده با بارگذاری‌ها و شرایط مرزی مختلف، مدل‌های تقریبی عددی مانند روش اجزاء محدود<sup>۴</sup>، روش تفاضل محدود<sup>۵</sup> و روش المان‌های مرزی<sup>۶</sup> ارائه و استفاده می‌گردد.

از میان روش‌های فوق، روش اجزاء محدود امروزه کاربرد وسیعی در تحلیل‌های دینامیکی و استاتیکی سازه‌ها دارد. به طوری که نرم‌افزارهای متعددی در زمینه‌های مختلف کاربرد روش اجزاء محدود ارائه شده است. اما به علت خطاهای مدل کردن از جمله عدم اطلاع دقیق از رفتار سازه، عدم مدل کردن صحیح شرایط مرزی مدل‌های عددی همواره دارای خطا می‌باشند. یکی از روش‌های بررسی اعتبار مدل اجزاء محدود سازه، انجام تست دینامیکی آن است. یعنی فرکانس‌های طبیعی و مودهای نوسانی به دست آمده از آزمایش آنالیز مودال باید انطباق قابل قبولی با مدل اجزاء محدود داشته باشد. در سازه‌های پیچیده اعتبار مدل اجزاء محدود باید حتماً مورد بررسی قرار گیرد. زیرا مدل عددی در این‌گونه موارد معمولاً دارای خطای بزرگی می‌باشد. در چنین مواردی اولین قدم اصلاح مدل دینامیکی است به چنین روش‌هایی اصطلاحاً اصلاح یا بهبود مدل<sup>۷</sup> گویند.

روش‌های متداول بهبود مدل عبارتند از [۱]:

- Direct Matrix Updating Method (DMU)
- Error Matrix Method (EMM)
- Eigendynamic Constraint Method (ECM)
- Inverse Eigensensitivity Method (IES)
- Response Function Method (RFM)

## ۲- دیدگاه کلی بر روشهای بهبود مدل

یکی از روش‌های ساده بررسی صحت مدل اجزاء محدود مقایسه پارامترهای دینامیکی (فرکانس‌های طبیعی و شکل مودهای نوسانی) حاصل از روش اجزاء محدود با فرکانس‌ها طبیعی و مودهای نوسانی به دست آمده از تست مودال می‌باشد. اگر این نتایج از انطباق قابل قبولی برخوردار باشند، مدل عددی ساخته شده مناسب بوده و می‌توان در مراحل دیگر آنالیز از آن با اطمینان استفاده کرد. اما در مورد سازه‌های پیچیده و سازه‌هایی که در آنها رفتار غیرخطی وجود دارد، این نتایج نه تنها با یکدیگر انطباق ندارند بلکه تفاوت‌های فاحشی نیز دارند به نحوی که از نتایج مدل عددی در عمل نمی‌توان استفاده

- 4. Finite Element Method (FEM)
- 5. Finite Difference Method (FDM)
- 6. Boundary Element Method (BEM)
- 7. Model Updating

کرد. در این موارد دو راه حل وجود دارد:

یکی ساختن مجدد مدل عددی با فرضیات جدید دیگر و راه‌حل دوم که در این مقاله مد نظر ماست، تصحیح مدل اجزاء محدود موجود با توجه به نتایج آزمایشگاهی می‌باشد. در آنالیزهای امروزی بیشترین تلاش و سرمایه‌گذاری بر روی بهبود بخشیدن مدل‌های کامپیوتری است. هدف از این کار، پیشگویی صحیح‌تر پارامترهای دینامیکی سیستم است که متعاقب آن طراحی بهینه‌ای انجام می‌شود.

## ۳- بهبود مدل با استفاده از تابع پاسخ فرکانسی

روشی که به بررسی آن می‌پردازیم بهبود مدل اجزاء محدود با استفاده از تابع پاسخ فرکانسی است، که به اختصار به روش RFM موسوم است. این روش در سال‌های اخیر ارائه شده و کاربرد و قابلیت فراوان دارد.

اطلاعات لازم برای استفاده از این روش به شرح زیر است:

(۱) ماتریس‌های سختی، جرمی و دمپینگ حاصل از اجزاء محدود

(۲) اطلاعات FRF حاصل از تست دینامیکی

از قابلیت‌های این روش، عدم نیاز به تکنیک‌های فشرده‌سازی ماتریس‌های جرم و سختی می‌باشد. در این روش با یک الگوریتم تکرار می‌توانیم در حالتی که تعداد درجات آزادی مدل عددی و مدل آزمایشگاهی یکسان نیست نیز به تصحیح مدل FEM بپردازیم.

در این روش برای حل دستگاه معادلات خطی به دست آوردن ضرایب تصحیح هر المان از الگوریتم SVD استفاده می‌کنیم. این الگوریتم برای حل دستگاه معادلات تکین و دستگاه معادلاتی که تعداد مجهولات کمتر از معادلات است، مناسب می‌باشد.

اساس روش بهبود مدل با استفاده از نتایج FRF معادله ریاضی زیر است [۲].

$$([A] + [B])^{-1} = [A]^{-1} + [A]^{-1} [B] [A]^{-1} \quad (1)$$

که در معادله فوق ماتریس  $[A]$  و  $[A] + [B]$  معکوس پذیر هستند

حال در رابطه (۱) فرض می‌کنیم  $[A]$  ماتریس سختی دینامیکی،  $[Za(\omega)]$  و  $[A] + [B]$  ماتریس سختی دینامیکی مدل آزمایشگاهی  $[Zx(\omega)]$  باشند در این صورت معادله (۱) به صورت زیر خواهد شد:

$$[Z_x(\omega)]^{-1} = [Z_a(\omega)]^{-1} - [Z_x(\omega)]^{-1} [Z_x(\omega) - [Z_a(\omega)]] [Z_a(\omega)]^{-1} \quad (2)$$

با توجه به این‌که  $[Z(\omega)] = [I] [\alpha(\omega)]$  است، پس نتیجه می‌شود:

$$[Z(\omega)]^{-1} = [\alpha(\omega)] \quad (3)$$

با استفاده از رابطه (۳)، رابطه (۲) را دوباره بررسی می‌کنیم.

$$[\Delta\alpha(\omega)] = [\alpha_a(\omega)] - [\alpha_x(\omega)] \quad (4)$$

در معادله (۴)  $[\Delta Z(\omega)]$  ماتریس خطای امیدانس بوده و به صورت زیر است.

$$[\Delta Z(\omega)] = [Z_x(\omega)] - [Z_a(\omega)]$$

اما در عمل ماتریس  $[\alpha_x(\omega)]$  بطور کامل در آزمایشگاه به دست نمی‌آید، بلکه ستون ۱ ام آن در هر آزمایش اندازه‌گیری و ثبت می‌شود و به عبارت دیگر، اندازه‌گیری پاسخ سیستم در یک نقطه و تحریک‌ها در نقاط مختلف به سازه اعمال می‌شوند. از این رو همواره ستون (کامل یا ناقص)  $\{\alpha_x(\omega)\}_i$  به صورت اطلاعات آزمایشگاهی در دسترس می‌باشد. بنابراین رابطه (۴) با فرض فوق به صورت زیر به دست می‌آید.

$$\{\alpha_x(\omega)\}_i^T [\Delta Z(\omega)] [\alpha_a(\omega)] = \{\alpha_a(\omega)\}_i^T - \{\alpha_x(\omega)\}_i^T \quad (5)$$

$[\alpha_x(\omega)]$  را می‌توان بر اساس  $[\Delta K]$ ،  $[\Delta M]$  و  $[D]$  به صورت زیر نوشت.

$$(6)$$

$$[\Delta Z(\omega)] = -\omega^2 [\Delta M] + [\Delta k] + i\omega [D]$$

با جایگزینی معادله (۶) در رابطه (۵) و با ترانسپوزگیری از دو طرف به رابطه نهائی و کاربردی زیر می‌رسیم:

$$\{\alpha_a(\omega)\}_i (-\omega^2 [\Delta M] + [\Delta K] + i\omega [D]) \{\alpha_x(\omega)\}_i = \{\alpha_x(\omega)\}_i - \{\alpha_x(\omega)\}_i \quad (7)$$

مسئله دیگر در معادله (۷) تعیین پارامترهای  $[\Delta K]$ ،  $[\Delta M]$  و  $[D]$  است. به منظور حفظ تقارن و پیوستگی مدل عددی سازه بعد از اصلاح ماتریس‌های جرم و سختی و دمپینگ، می‌بایست که خطای مدل عددی در المان‌هایی از ماتریس‌های فوق اتفاق افتد که مقادیر آنها مخالف صفر می‌باشد [۳]. با این اصل خطای ماتریس جرمی را می‌توان بصورت  $\Delta m_r$  ( $L_1, \dots, 1=r$ ) در نظر گرفت. که در آن  $L_1$  تعداد پارامترهای مستقل طراحی بوده که بطور مثال در سیستم جرم و فنر به جرم‌های مختلف سیستم اطلاق می‌شود و در مدل‌های اجزاء محدود اشاره به ضرایب ماتریس جرمی هر المان در مختصات کلی دارد. به همین ترتیب خطای ماتریس سختی به صورت  $(L_2, \dots, 1=s)$   $\Delta k_s$  و خطای ماتریس میرائی به صورت  $(L_2, \dots, 1=s)$   $\Delta d_s$  می‌باشد با این فرض معادله (۷) بصورت زیر به دست می‌آید.

$$(8)$$

$$b_r(\omega) = \sum_{r=1}^{L_1} C_m^r(\omega) \Delta m_r + \sum_{s=1}^{L_2} C_k^s(\omega) \Delta k_s + \sum_{s=1}^{L_2} C_d^s(\omega) d_s = \{C_r(\omega)\}^T \{p\}$$

در معادله (۸) با داشتن  $\{\alpha_x(\omega)\}_i$  و  $[\alpha_a(\omega)]$  ماتریس ضرایب  $[C(\omega)]$  قابل محاسبه است و  $\{P\}$  بردار مجهول که شامل تغییرات پارامترهای مستقل سیستم می‌باشد و  $\{b_j(\omega)\}$

$(j=1, \dots, N)$  اختلاف بین بردارهای receptance مدل عددی و مدل آزمایشگاهی را نشان می‌دهد.

نهایتاً رابطه (۴) به صورت یک دستگاه معادلات جبری به صورت زیر ساده می‌باشد.

$$(9)$$

$$[C(\omega)] \{p\} = \{B(\omega)\}$$

که در آن:

$$(10)$$

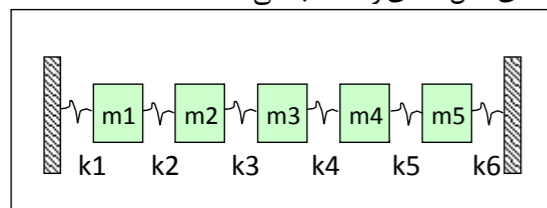
$$C(\omega) = \begin{bmatrix} \{C_1(\omega)\}^T \\ \{C_2(\omega)\}^T \\ \vdots \\ \{C_N(\omega)\}^T \end{bmatrix} \{p\} = \begin{bmatrix} \Delta m_1 \\ \Delta m_2 \\ \vdots \\ \Delta m_{L_1} \\ \Delta k_1 \\ \vdots \\ \Delta k_{L_2} \\ d_1 \\ \vdots \\ d_{L_2} \end{bmatrix} \quad \{B(\omega)\} = \begin{bmatrix} b_1(\omega) \\ b_2(\omega) \\ \vdots \\ \vdots \\ \vdots \\ B_N(\omega) \end{bmatrix} = [\Delta\alpha(\omega)]$$

در حالتی که سیستم دارای دمپینگ باشد در آن صورت  $\{C(\omega)\}$  و  $\{B(\omega)\}$  متغیرهای مختلط است در حالی که  $\{P\}$  اعداد حقیقی می‌باشد. در این حالت برای به دست آوردن ضرایب مجهول  $\{P\}$  دستگاه معادلات را به صورت زیر مرتب می‌کنیم.

$$(11)$$

$$\begin{bmatrix} \text{Re}\{C(\omega)\} \\ \text{Im}\{C(\omega)\} \end{bmatrix} \{P\} = \begin{bmatrix} \text{Re}\{B(\omega)\} \\ \text{Im}\{B(\omega)\} \end{bmatrix}$$

برای درک بهتر روش RFM در این قسمت نتایج اصلاح مدل جرم و فنر ۵ درجه آزادی (شکل ۱) با خطای مشخص ارائه شده است. برای این مقصود برنامه‌ای به زبان MATLAB نوشته شده که با مشخص کردن تعداد درجات آزادی، جرم، سختی فنر و خطای در نظر گرفته شده برای مدل عددی (در این برنامه مقادیر بدست آمده از تحلیل به عنوان مقادیر آزمایشگاهی در نظر گرفته می‌شود) به کمک روش RFM خطای مدل عددی را محاسبه می‌کند.



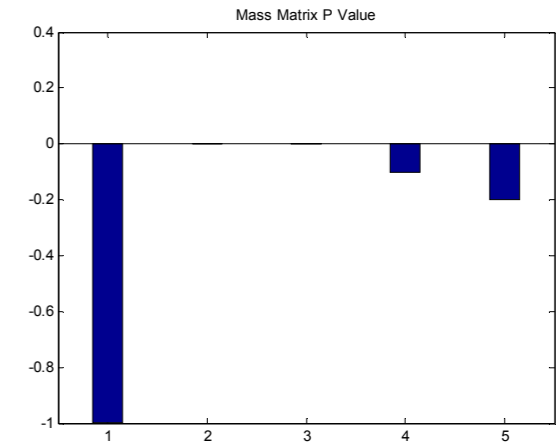
شکل ۱- سیستم ۵ درجه آزادی جرم و فنر

با در نظر گرفتن سیستم ۵ درجه آزادی شکل ۱ با مشخصات زیر:

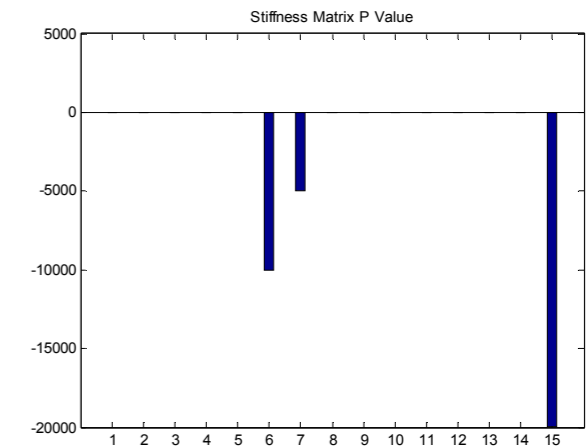
$$m1 = 1.5 \text{ Kg}$$

$$m2 = m3 = m4 = m5 = 1 \text{ Kg}$$

$$k1 = k2 = k3 = k4 = k5 = k6 = 100000 \text{ N/m}$$



شکل ۲- مقدار P Value برای ماتریس جرمی



شکل ۳- مقدار P Value برای ماتریس سختی

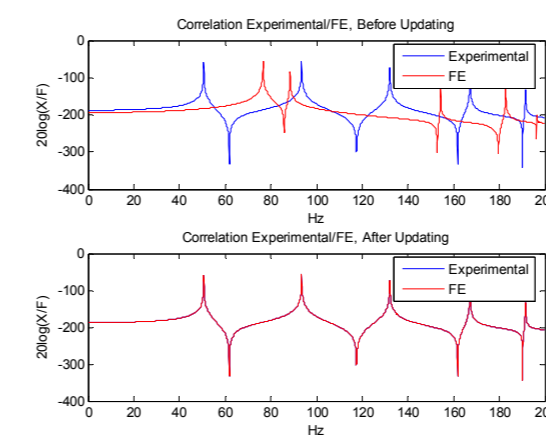
و اعمال خطا:

$$m1 = m1 + 1, m4 = m4 + 0.1, m5 = m5 + 0.2, \\ k22 = k22 + 10000, k23 = k23 + 5000, k32 = k32 + 10000, \\ k66 = k66 + 20000$$

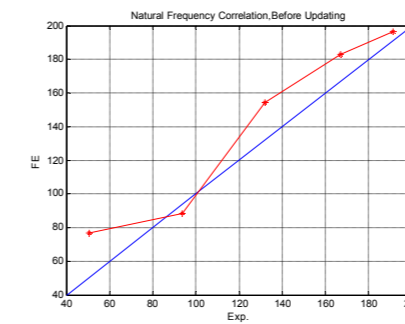
همانطور که مقادیر P-Value بدست آمده در اشکال ۲ و ۳ برای ماتریس سختی و جرمی نشان می‌دهد، این روش قادر است مقدار خطا و محل آن را بخوبی تشخیص دهد. یکی از روش‌های متداول مقایسه مدل عددی و نتایج تست، که نشان دهنده میزان خطای مدل عددی است، معیار MAC است که به صورت زیر تعریف می‌گردد [۴].

$$MAC(\phi_i, \phi_j) = \frac{|\{\phi_A\}_i^T \{\phi_X\}_j^*|^2}{\{\phi_A\}_i^T \{\phi_A\}_i \{\phi_X\}_j^T \{\phi_X\}_j}$$

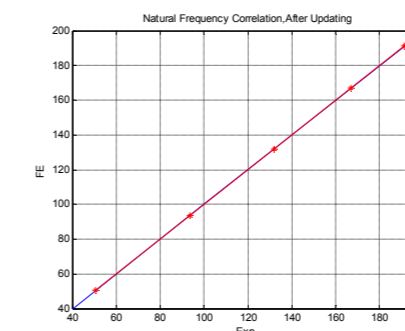
برای مقایسه بهتر  $\alpha_{11}$ ، فرکانس‌های طبیعی و MAC در



شکل ۴- مقایسه  $\alpha_{11}$  مدل عددی و تست قبل و بعد از اصلاح مدل عددی



الف



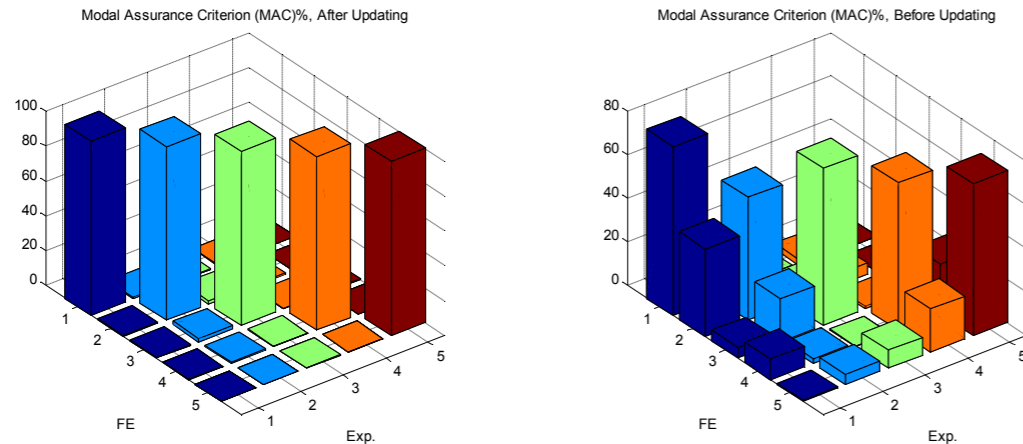
ب

شکل ۵- مقایسه فرکانسهای طبیعی (الف) قبل و (ب) بعد از بهبود مدل

دو حالت قبل و بعد از بروز رسانی در اشکال ۴، ۵ و ۶ رسم گردیدند.

توجه به این موضوع که نتایج تست همواره با نویز می‌باشد، روش فوق برای این حالت نیز بررسی شده است. برای این منظور نویز به صورت زیر در نظر گرفته شده است [۵].

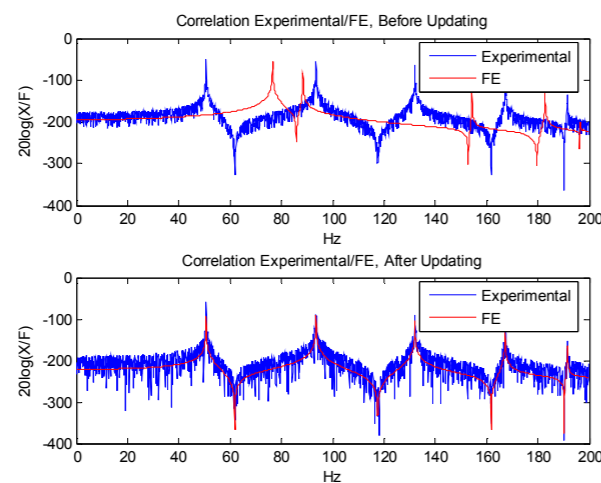
$$A_{li} = [1 + \alpha \times (2 \times RAN - 1)] \times A_{li} \quad (13)$$



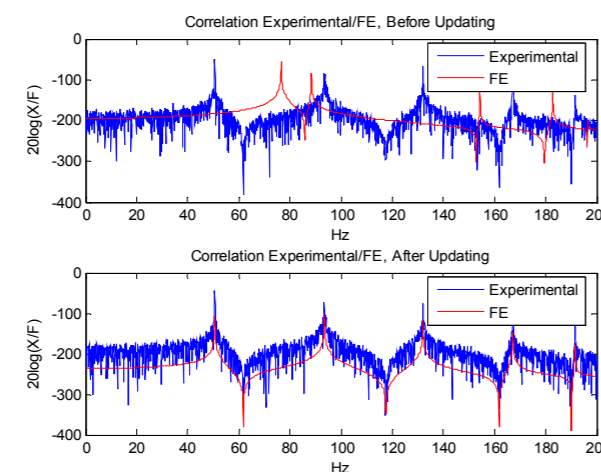
ب

الف

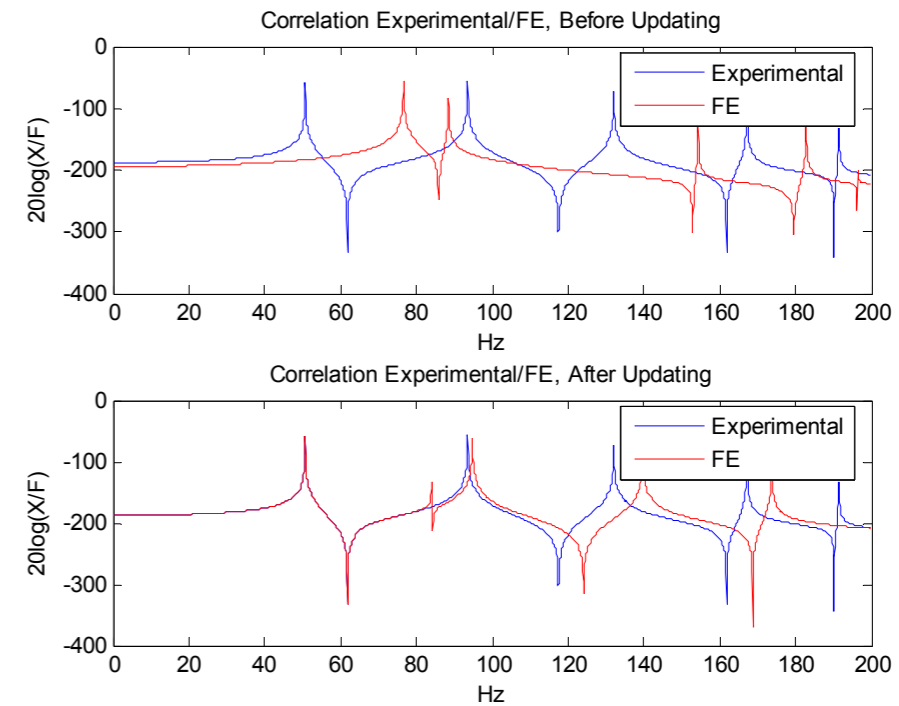
شکل ۶- مقایسه درصد MAC (الف) قبل و (ب) بعد از بهبود مدل



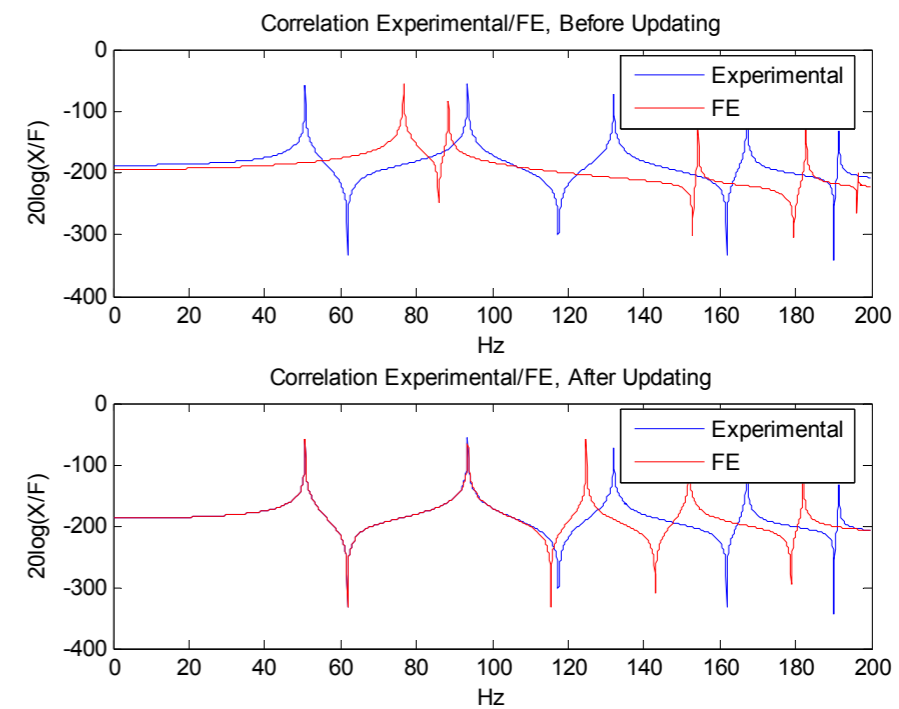
شکل ۷- مقایسه  $\alpha_{11}$  مدل عددی و تست قبل و بعد از اصلاح مدل عددی با در نظر گرفتن ۱۵٪ نویز



شکل ۸- مقایسه  $\alpha_{11}$  مدل عددی و تست قبل و بعد از اصلاح مدل عددی با در نظر گرفتن ۲۰٪ نویز



شکل ۹- بهبود مدل در حالتی که نتایج تست کامل نمی باشد (تکرار ۱۰ بار)



شکل ۱۰- بهبود مدل در حالتی که نتایج تست کامل نمی باشد (تکرار ۵۰ بار)

که در آن  $\alpha$ ، Receptance، A، میزان نویز و RAN، یک مقدار اتفاقی بین صفر و یک است.

نمودار های  $\alpha_{11}$  به ازای مقادیر مختلف نویز در دو حالت قبل و بعد از بروز رسانی (اشکال ۷ و ۸) نشان می دهد که این روش با ۱۵ درصد نویز برای این مثال مشخص کاملاً موفق است ولی نتایج بهبود مدل عددی حاصل از اطلاعات با ۲۰ درصد نویز قابل قبول نیست.

در بررسی های صورت گرفته توسط محققان برای مثال های دیگر مقدار تقریبی ۱۷ درصد برای این روش در نظر گرفته شده است [۲] که نشان دهنده قدرت روش است. زیرا مقدار نویز در تست واقعی، امروزه به کمک ابزارهای دقیق و فیلترهای گوناگون کمتر از این مقدار است. البته برای موارد مختلف این مقدار متفاوت است.

#### ۴- یکسان سازی درجات آزادی مدل آزمایشگاهی و مدل عددی

در حالتی که درجات آزادی مدل اجزاء محدود بیشتر از مدل آزمایشگاهی است، فرض اینکه تمامی مقادیر بردار  $\{\alpha_x(\omega)\}_i$  در دست باشد، واقع بینانه و منطقی نمی باشد، چرا که در بسیاری از موارد اندازه گیری بعضی از درجات آزادی سیستم مقدور نیست و یا بسیار مشکل و هزینه بر است، مانند اندازه گیری درجات آزادی دورانی یا درجات آزادی درونی یک تیر. در چنین حالتی برای به دست آوردن بردار  $\{P\}$  باید از روش تکرار استفاده کرد. فرض می شود که بردار  $\{\alpha_x(\omega)\}_i$  یک بردار  $n \times 1$  باشد که  $n$  تعداد درجات آزادی اندازه گیری شده است. از آن جا که  $n \leq N$ ، معادله ۸ به علت عدم قابلیت ضرب ماتریس ها قابل محاسبه نمی باشد. برای رفع این مشکل مقادیری از  $\{\alpha_x(\omega)\}_i$  که اندازه گیری نشده است را با مقادیر مشابه مدل عددی حاصل از  $\{\alpha_x(\omega)\}_i$  جایگزین می کنیم [۶].

برای بررسی توانایی این روش در حالت عدم تطابق تعداد درجات آزادی مدل اجزاء محدود و مدل آزمایشگاهی، با در نظر گرفتن سیستم ۵ درجه آزادی شکل ۱ و با این فرض که نتایج مربوط به درجه آزادی ۵ام قابل اندازه گیری نمی باشد، با قرار دادن مقادیر عددی به جای مقادیری که قابل اندازه گیری نیستند و به روش تکرار، مدل عددی بهبود یافت. با بررسی نتایج حل به روش تکرار (اشکال ۹، ۱۰، ۱۱ و ۱۲) می توان دید که با افزایش دفعات تکرار تا یک مقدار خطای مدل عددی کاهش یافته و به مدل آزمایشگاهی نزدیک می شود، اما با افزایش دفعات حل دوباره خطا افزایش می یابد که برای این منظور، مقدار حداکثر خطایی که مورد نظر کاربر است در برنامه نویسی مشخص می گردد و بدین ترتیب مقدار بهینه تکرار به دست می آید.

#### ۵- نتیجه گیری

روش بهبود مدل با استفاده از تابع پاسخ فرکانسی (RFM)، از روشهای جدید و امروزی بهبود مدل بوده و به علت قابلیت های متعدد آن کاربرد فراوان دارد.

مزیت های این روش به طور خلاصه به شرح زیر است:

- ۱) قابلیت روش در مواردی که سیستم عددی دارای ماتریس دمپینگ بوده و بالاخص در مواردی که فرکانس های طبیعی سیستم مختلط می باشد.
- ۲) عدم نیاز به تکنیک های فشرده سازی در مواردی که در حالت آزادی مدل آزمایشگاهی کمتر از درجات آزادی مدل عددی است و یا به عسارت دیگر در مواردی که بردار  $\{\alpha_x(\omega)\}_i$  ناقص است.
- ۳) عدم نیاز به استخراج مودهای نوسانی مدل آزمایشگاهی.
- ۴) قابل فهم بودن الگوریتم روش

از معایب این روش می توان به موارد اساسی زیر اشاره کرد:

- ۱) حجم بالای محاسبات در این روش به خصوص در مرحله تشکیل دستگاه معادلات خطی و حل آنها به روش SVD از این رو حجم بالایی از حافظه در این روش مورد استفاده قرار می گیرد.

۲) نرسیدن به ضرایب تصحیح یکتا در مواردی که تعداد درجات آزادی مدل عددی و آزمایشگاهی متفاوت است.

امروزه با توجه به محاسن این روش، کاربرد آن در بین روش های دیگر توسعه یافته و به تدریج به یک روش استاندارد بهبود مدل تبدیل می شود.

#### ۶- مراجع

- [1] Ewins, D. J., "Modal Testing: Theory, Practice and Application", 2nd Edition, RESEARCH STUDIES PRESS LTD., England, 2000.
- [2] Visser, W.J. "Updating Structural Dynamic Using Frequency Response Data", Ph.D. Thesis, Imperial College London, 1992.
- [3] Imregun, M., and Visser, W. J., "A Review of Model Updating Techniques", Shock and Vibration Bulletin, 1991, 20-9.
- [4] Ziaei Rad, S. "Methods for Updating Numerical Models in Structural Dynamic", Ph.D. Thesis, Imperial College London, 1997.
- [5] Ashory, M. R. «High Quality Modal Testing Methods», Ph.D. Thesis, Imperial College London, 1999.
- [6] Mottershead, J. E. «Theory for the Estimation of Structural Vibration Parameters from Incomplete Data», AIAA Journal, Vol. 28, No. 3, pp 1990, 561-559.